

ثبت رخداد غیرهوایی اقیانوسی ابتدای آپتین بر اساس نانوفسیل‌های آهکی در سازند گرو (تاقدیس کبیرکوه)، غرب ایران

اعظم ماهانی پور^{*}، مریم افتخاری^{*} و سیلا سهیلی^{*}

^{*}دانشیار، گروه زمین‌شناسی، دانشکده علوم، دانشگاه شهید باهنر کرمان، کرمان، ایران

^{*}کارشناسی ارشد، گروه زمین‌شناسی، دانشکده علوم، دانشگاه شهید باهنر کرمان، کرمان، ایران

تاریخ دریافت: ۱۳۹۷/۰۵/۲۹

تاریخ پذیرش: ۱۳۹۷/۰۹/۲۸

چکیده

به منظور بررسی رخداد غیرهوایی اقیانوسی ابتدای آپتین، نانوفسیل‌های آهکی در رسوبات بارمین پسین-آپتین پیشین سازند گرو واقع در یال جنوب غربی تاقدیس کبیرکوه در بررسی قلعه دره از نقطه نظر پالٹواکولوژی مورد مطالعه و بررسی دقیق قرار گرفت. بررسی نانوفسیل‌های آهکی در این برش منجر به تشخیص ۹۰ گونه متعلق به ۴۳ جنس از ۱۵ خانواده شد که از جمله جنس و گونه‌های شاخص می‌توان به اولین حضور گونه‌های *Eprolithus floralis* و *Hayesites irregularis* اشاره کرد. بر این اساس محدوده تحت بررسی شامل قسمت‌های انتهایی زیست‌زون CC6/NC5 تا قسمت‌های ابتدایی زیست‌زون CC7/NC7A است. اولین حضور گونه *H. irregularis* شاخص مرز بارمین-آپتین و تفکیک کننده زیست‌زون‌های CC6/NC5E از CC7/NC6 است. بررسی آماری تجمع نانوفسیل‌های آهکی محدوده مورد مطالعه بیانگر ثبت افت نانوکونیدی (Nannoconid decline) در مرز بارمین-آپتین و آپتین پیشین و بحران نانوکونیدی (Nannoconid crisis) در زون CC7a/NC6B می‌باشد. بحران نانوکونیدی یکی از شاخص‌های اصلی رخداد غیرهوایی اقیانوسی ابتدای آپتین است که از نقاط مختلف دنیا از جمله غرب تیس، حوضه دریای شمال و اقیانوس‌های اطلس و آرام در بازه زمانی آپتین پیشین وزون NC6 از زیست‌زون‌های نانوفسیلی گزارش شده و در این مطالعه در رسوبات آپتین پیشین سازند گرو ثبت شده است.

کلیدواژه‌ها: ایران، سازند گرو، حوضه زاگرس، رخداد غیرهوایی اقیانوسی ابتدای آپتین، نانوفسیل‌های آهکی.

E-mail: a_mahanipour@uk.ac.ir

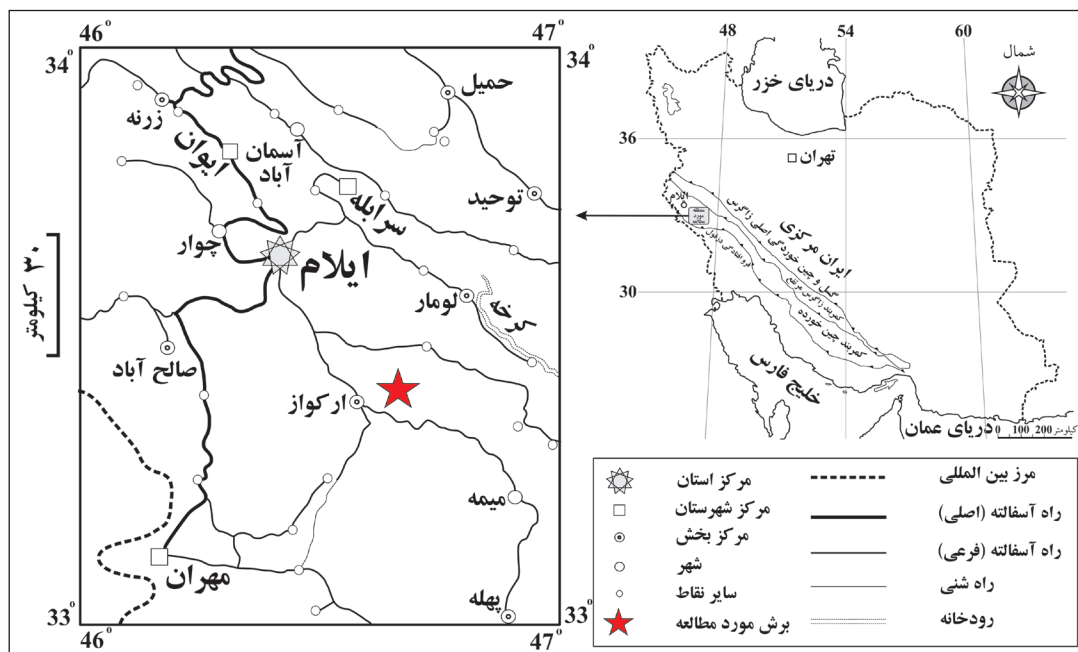
*نویسنده مسئول: اعظم ماهانی پور

۱- پیش‌نوشتار

آب و هوا و حیات در کرتاسه تحاتانی تحت تأثیر جدایش «پانگک آ»، افزایش نرخ تولید پوسته اقیانوسی و فعالیت‌های آتش‌نشانی بوده (Föllmi, 2012) که افزایش دی اکسید کربن جوی در نتیجه فعالیت‌های آتش‌نشانی، شرایط گرم گلخانه‌ای Huber et al., 1995; Wilson et al., 2002; Hay, 2008; Föllmi, 2012 از کرتاسه به وجود آورده است (Heimhofer et al., 2004; Hay, 2008; Föllmi, 2012). افزایش نرخ تولید پوسته اقیانوسی و فعالیت‌های ولکانیکی باعث افزایش فشار گاز دی اکسید کربن اتمسفر، افزایش درجه حرارت و بالا رفتن نسبی سطح آب دریا شده است (Erba, 1994; Leckie et al., 2002; Erba and Tremolada, 2004; Tejada et al., 2009). لازم به ذکر است که شرایط گلخانه‌ای کرتاسه بین دو حالت خشک (یا نرمال) و حالت مرتبط در نوسان بوده که در رسوبات حوضه تیس نیز به ثبت رسیده است. تحت شرایط مرتبط و گلخانه‌ای، شرایط کم‌هوایی و بی‌هوایی در آب‌های عمیق اقیانوس‌ها توسعه یافته که سبب تنشست شیل‌های سیاه ابتدای آپتین در حوضه تیس شده است (Föllmi, 2012). تنشست شیل‌های سیاه غنی از مواد آلی در مقیاس جهانی ثبت شده و تحت عنوان رخدادهای غیرهوایی اقیانوسی (OAEs) از آنها یاد شده است. یکی از رخدادهای غیرهوایی اقیانوسی ثبت شده در مقیاس جهانی، رخداد غیرهوایی اقیانوسی ابتدای آپتین (Oceanic Anoxic Event 1a= OAE 1a) است (Schlanger and Jenkyns, 1967; Jenkyns, 2010; Föllmi, 2012). تغییرات مذکور باعث تغییر در مجموعه موجودات جانوری و گیاهی اقیانوس‌ها شده است که از آن جمله می‌توان به کاهش تنوع در فرامینیفرهای پلاتنکتون و رادیولرها، طولی شدگی حجرات بعضی از فرامینیفرهای نانوکونیدها اشاره کرد (Premoli Silva et al., 1999; Herrle and Mutterlose, 2003; Aguado et al., 2014). رخداد غیرهوایی اقیانوسی ابتدای آپتین (OAE 1a) از قسمت‌های مختلف دنیا در غرب و شرق حوضه تیس، حوضه بورال و اقیانوس‌های آرام و اطلس گزارش شده است (Coccioni et al., 1987; Bralower et al., 1994; Dumitrescu and Brassell, 2006; Mutterlose and Bottini, 2013;

۲- موقعیت جغرافیایی برش مورد مطالعه

برش مورد مطالعه (قلعه دره) در یال جنوب غربی تاقدیس کبیرکوه با موقعیت جغرافیایی طول ۴۶ درجه، ۴۱ دقیقه و ۵۵ ثانیه شرقی و عرض ۳۳ درجه، ۲۲ دقیقه و ۴۲ ثانیه شمالی، در زاگرس چین‌خورده قرار گرفته است. با توجه به تقسیم‌بندی زاگرس بر اساس تغییرات جانی رخساره‌ها که منجر به تفکیک زون‌های فارس (زاگرس شرقی)، ایله، فروافتادگی دزفول (زاگرس مرکزی) و لرستان (زاگرس غربی) شده (Motiei, 1994, 1995; Talbot and Alavi, 1996)، برش مورد مطالعه در زون لرستان واقع است. این منطقه در بازه آپتین در حاشیه جنوبی راه آبی گرو قرار داشته که به اقیانوس نو تیس متصل می‌شده است (Vincent et al., 2010). برای رسیدن به برش قلعه دره در ۴۵ کیلومتری جنوب شرقی ایلام و ۱۰ کیلومتری شمال شرقی روستای ارکواز (قلعه‌دره)، می‌توان از جاده ایلام-دره شهر یا ایلام-میمه استفاده کرد (شکل ۱). در منطقه مورد مطالعه، سازند گرو و بانپیوستگی بر روی رسوبات تبخیری سازند گکوتینیا (به سن ژوراسیک بالایی) قرار گرفته و با سنگ‌آهک‌های سازند سروک (به سن آلبین-تورونین) به صورت ناپیوسته پوشیده شده است.



شکل ۱- موقعیت منطقه مورد مطالعه در زاگرس اقتباس (Heydari 2008) با تغییرات و نمایش راههای دسترسی به برش چینه‌شناسی مورد مطالعه اقتباس از بختیاری (۱۳۸۴) با تغییرات.

۳- روش مطالعه

را مشخص می‌کند. اولین حضور گونه *E. floralis* نیز در ضخامت ۳۴۲ متری ثبت شده و شاخص مرز زیست‌زون‌های CC7A/CC7B و NC6B/NC7A است. همچنین اولین حضور گونه *Flabellites oblongus* که شاخص مرز زیر زون‌های NC5E و NC5D بوده در ضخامت ۲۷۶ متری ثبت شده است. آخرین حضور گونه *Conusphaera rothii* نیز در ضخامت ۳۰۳ متری ثبت شده و شاخص مرز زیر زون‌های A و NC6B است (افتخاری و همکاران، ۱۳۹۵). موقعیت جنس و گونه‌های شاخص و زیست‌زون‌های ثبت شده بر اساس آنها در شکل ۲ نمایش داده شده است. لازم به ذکر است که حفظ شدگی نانوفسیل‌های آهکی محدوده مورد مطالعه بر اساس تعاریف (1978) Roth از ضعیف تا خوب متغیر بوده و در ارتباط با لیتوژوئی است، به طوری که حفظ شدگی ضعیف در واحدهای سنگ آهک و سنگ آهک مارنی و حفظ شدگی خوب در مارن و شیل مارنی دیده می‌شود.

۴- بروزی تجمع نانوفسیل‌های آهکی

تجمع نانوفسیل‌های آهکی در محدوده مورد مطالعه شامل جنس و گونه‌های جهانی به همراه نمونه‌های مختص حوضه تیس است. در محدوده مورد مطالعه جنس و گونه‌های غالب عبارتند از: *Watznauerai barnesiae* (متوسط فراوانی ۱۹/۳٪)، *Rhagodiscus asper* (متوسط فراوانی ۹/۶٪)، *Zeugrhabdotus* spp. (متوسط فراوانی ۱۷/۳٪)، *Lithraphidites carniolensis* (متوسط فراوانی ۲۲/۲٪)، *Nannoconus* spp. (متوسط فراوانی ۱۶/۳٪)، *Discorhabdus ignotus* (متوسط فراوانی ۳۳/۶٪)، *Micrantholithus* spp. (متوسط فراوانی ۴/۲٪)، *Diazomatolithus lehmanii* (متوسط فراوانی ۴/۱٪)، *Helenea chiastra* (متوسط فراوانی ۱۰/۵٪)، *Hayesites irregularis* (متوسط فراوانی ۱/۹٪)، حداکثر فراوانی ۵٪ و گونه‌ها که با فراوانی کمتر ثبت شده‌اند شامل *Epolithus floralis* و *H. irregularis* می‌باشد. اولین حضور گونه *H. irregularis* که در ضخامت ۲۸۷ متری ثبت شده شاخص مرز بارمین-آپتین است و مرز زیست‌زون‌ها NC5/NC6 و CC6/CC7A است.

جهت مطالعه نانوفسیل‌های آهکی در برش مورد مطالعه، نمونه از ضخامتی معادل ۱۵۵ متر از قسمت‌های فوقانی سازند گرو مورد بررسی قرار گرفته است. نمونه‌های موجود به روش ثقلی (Thibault and Gardin, 2006) آماده‌سازی و با استفاده از میکروسکوپ نوری المپوس مدل BH2 با بزرگنمایی $\times 1000$ مطالعه شد. در پژوهش حاضر برای شناسایی نانوفسیل‌های آهکی از توصیفات (Perch-Nielsen, 1985) و سایت Nannotax website (Bown, 1998) استفاده شده است.

جهت بررسی پالئواکولوژی نانوفسیل‌های آهکی حدود ۳۰۰ جنس و گونه در هر اسلامید شمارش و سپس محاسبات آماری در نرم‌افزارهای اکسل و spss انجام شد. براین اساس فراوانی نسبی (relative abundance)، فراوانی مطلق (absolute abundance) و تنوع (Diversity) جنس و گونه‌های نانوفسیلی موجود محاسبه شده است.

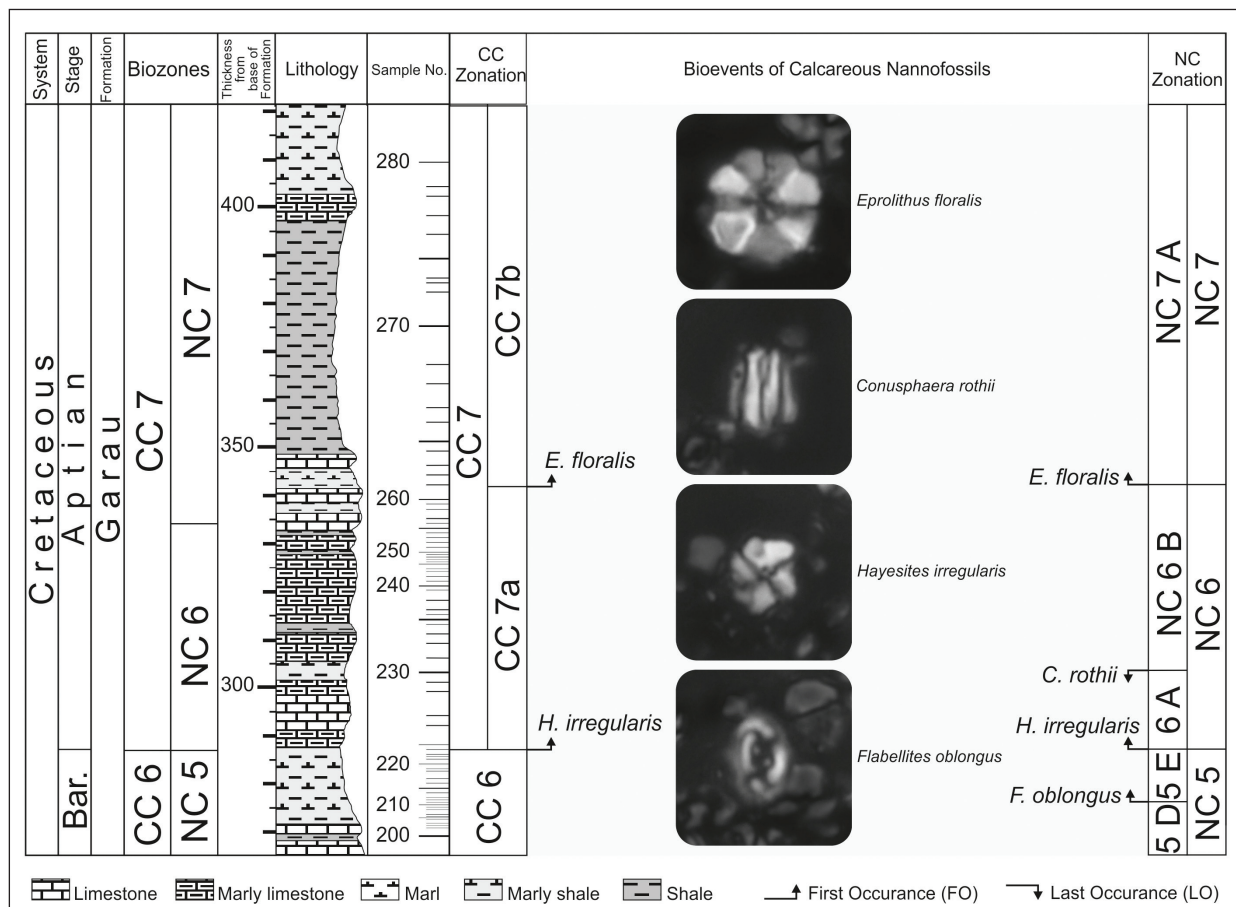
جهت اندازه گیری میزان درصد کربنات کلسیم نمونه‌ها از دستگاه مولر بمب استفاده شد. در این روش حدود یک گرم از نمونه به صورت کامل پودر و با اسید کلریدریک ۱۵ درصد در دستگاه کلسی متر واکنش داده شده است. بر اساس میزان گاز دی‌اکسید کربن آزاد شده داخل بطری، محتوای کربنات کلسیم محاسبه گردید. لازم به ذکر است که با استفاده از دستگاه با کربنات کلسیم خالص در ابتدا کالیبره شود.

۴- زیست‌چینه‌نگاری نانوفسیل‌های آهکی

جهت تحلیل زیست‌چینه‌نگاری نانوفسیل‌های آهکی در محدوده مورد مطالعه از زیست‌زون‌بندی استاندارد Sissingh (1977) تصحیح شده توسط Applegate and Bergen (1988) و زیست‌زون‌بندی Bralower et al. (1995) با علامت اختصاری NC (1978) تصحیح شده توسط Roth (1978) با علامت اختصاری NC استفاده شده است. در محدوده مورد مطالعه جنس و گونه‌های شاخص ثبت شده شامل اولین حضور گونه *Hayesites irregularis* و اولین حضور گونه *E. floralis* می‌باشد. اولین حضور گونه *H. irregularis* که در ضخامت ۲۸۷ متری ثبت شده شاخص مرز بارمین-آپتین است و مرز زیست‌زون‌ها NC5/NC6 و CC6/CC7A است.

کاتال متوسط و نانو کونیدهای با کاتال باریک هستند. نانو کونیدهای کاتال باریک شامل *Nannoconus steinmannii*, *Nannoconus steinmannii minor*, *Nannoconus ligius* و *Nannoconus* sp. با کاتال باریک است. در گروه نانو کونیدهای با کاتال متوسط *Nannoconus* و *Nannoconus kamptneri*, *Nannoconus quadrikanalis* و *Nannoconus truitti* و در گروه نانو کونیدهای با کاتال عریض گونه‌های *Nannoconus bucheri*, *Nannoconus circularis* و *Nannoconus* sp. با کاتال عریض در نظر گرفته شده‌اند.

%۶۱ حداکثر فراوانی (%۹/۲)، *Braarudosphaera* spp. (متوسط فراوانی %۹/۲) و *Biscutum constans* (متوسط فراوانی %۰/۴، حداکثر فراوانی %۳/۲) و *Eprolithus floralis* (متوسط فراوانی %۰/۱، حداکثر فراوانی %۰/۷). لازم به ذکر است که در این مطالعه نانو کونیدها مشابه با کار (1994) Erba، Duchamp-Alphonse et al. (2014) و Barbarin et al. (2012) به سه گروه بر اساس اندازه کاتال تقسیم شده‌اند که شامل نانو کونیدهای با کاتال عریض، نانو کونیدهای با



شکل ۲-نمایش حوادث نانوفسیلی شاخص و زیست‌زون‌های تشخیص داده شده در محدوده مورد مطالعه. زیست‌زون‌های CC منطبق بر (1977) Sissingh و زیست‌زون‌های NC منطبق بر زیست‌زون‌بندی (1978) Roth تصحیح شده توسط (1995) Bralower et al. است.

تغییرات شدید آب و هوایی رخ داده که همراه با نوسانات متعدد در سیستم اقیانوسی جوی و چرخه کریں در سطح جهانی بوده است (Schlanger and Jenkyns, 1976; Leckie et al., 2002; Jenkyns, 2010). یکی از رخدادهای غیرهوازی اقیانوسی که به صورت جهانی در کرتاسه میانی ثبت شده، رخداد غیرهوازی اقیانوسی ابتدای آلتین (Jenkyns, 2010) (OAE 1a) است. در بسیاری از نقاط، این رخداد با تنشست رسوبات دریایی غنی از کربن آلی همراه بوده که تحت عنوان شیلهای سیاه (black shales) شناخته می‌شوند (Schlanger and Jenkyns, 1976; Weissert and Erba, 2004). از جمله شواهد ثبت شده در محدوده رخداد غیرهوازی اقیانوسی (Li et al., 2008) می‌توان به شواهد زیستی (نانوفسیل‌ها، آمونیت‌ها، فرامینیفرها)، تغییرات رخسارهای لایه‌های غنی از کربن آلی (TOC) و آنومالی در منحنی ایزوتوپ کربن ۱۳

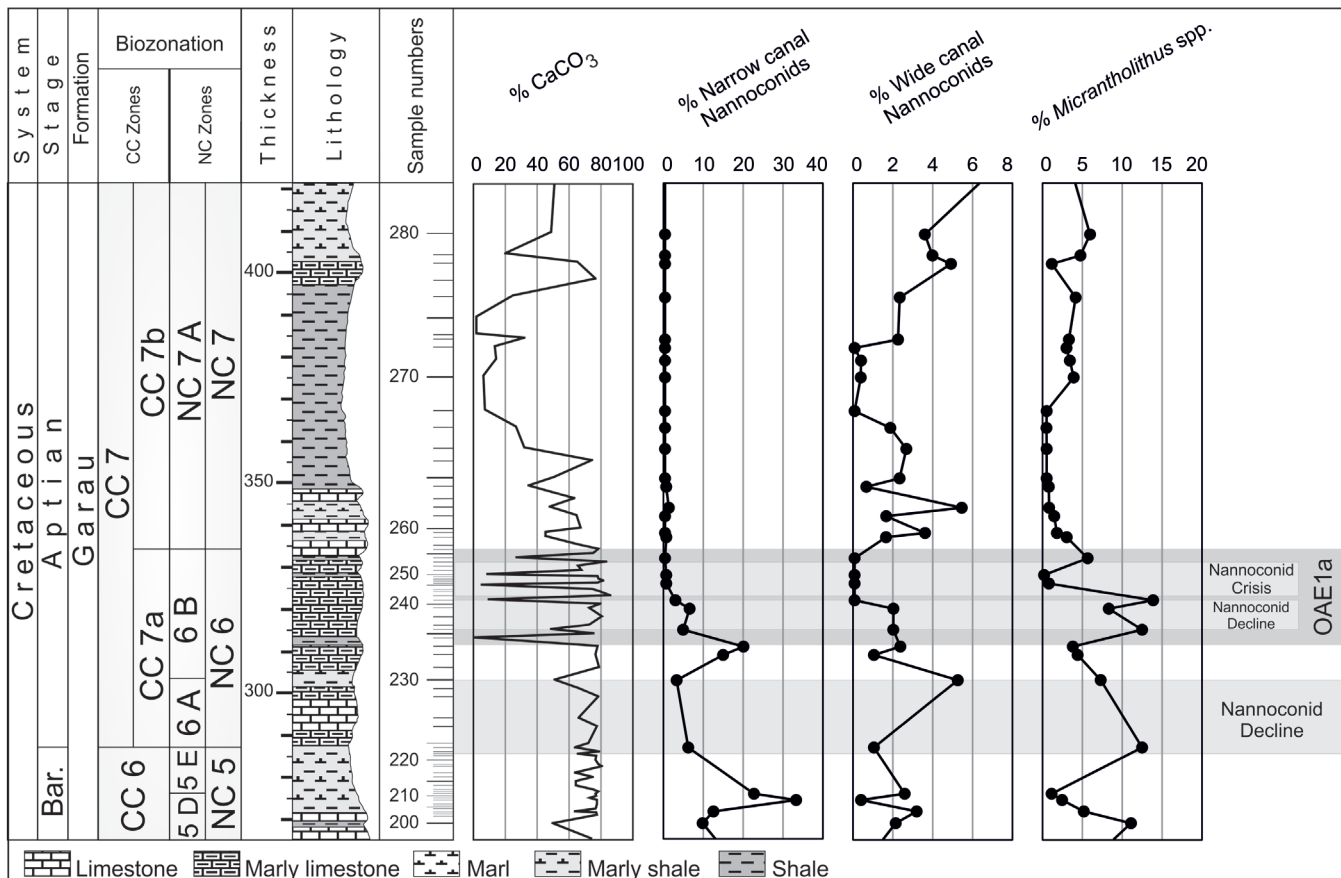
نانوفسیل‌های آهکی مزوژوئیک مهم‌ترین تولیدکنندگان اولیه حوضه‌های دریایی محاسب می‌شوند (Mutterlose et al., 2005) که شدیداً به ساختار حرارتی اقیانوس‌ها، میزان مواد غذایی آب‌های سطحی (شرايط الیگو-، مزو- و یوتروفیک) و همچنین دی‌اکسید کربن اتمسفر وابسته و همچنین نسبت به فاکتورهای اکولوژیکی مثل نور، مواد غذایی، درجه حرارت و سایر عوامل زیست‌محیطی مانند شوری حساس هستند (Erba, 2004; Mutterlose et al., 2005). نانوفسیل‌های آهکی اطلاعات مهمی در مورد اقیانوس‌های مزوژوئیک، توده‌های آب، سیستم جریان‌ها و الگوهای رسوب‌گذاری تأمین می‌کنند. بنابراین مجموعه نانوفسیل‌های آهکی مزوژوئیک به طور گسترده‌ای برای بازسازی شرایط آب و هوایی و محیطی دیرینه استفاده می‌شوند (Mutterlose et al., 2005).

در کرتاسه میانی (Ma85-125) یک سری وقایع غیرهوازی اقیانوسی (OAEs) و

در ادامه (Patruno et al., 2015) (Penthalith Peak)، (۳) بحران نانوکونیدی (Nannoconid Crisis) و کاهش کلسیتی شدن زیستی (biocalcification crisis) (Erba , 2004; Erba et al., 2010; Mutterlose and Bottini, 2013) که در زمان رخداد غیرهوازی اقیانوسی آپتین پیشین ثبت شده و (۴) بازگشت مجدد نانوکونیدها (به خصوص نانوکونیدهای کانال عریض =Wide canal Nannoconids) بعد از OAE 1a (Patruno et al., 2015).

بررسی آماری تجمع نانوفسیل‌های آهکی برش مورد مطالعه در محدوده زمانی آپتین منجر به ثبت افت نانوکونیدها از محدوده مرز بارمین-آپتین تا اوایل آپتین پیشین شده که با یک افزایش جزیی در نانوکونیدها همراه بوده است (شکل ۳).

(ناهنچاری منفی و به دنبال آن ناهنچاری مثبت خیلی بزرگ) اشاره کرد. با افزایش فعالیت‌های آتشفشاری و حاصلخیز شدن اقیانوس‌ها در نزدیکی OAE 1a، مجموعه موجودات پلانکتون و بتیک پیشترین میزان تغییرات را در هنگام وقوع این رخداد غیرهوازی اقیانوسی نشان می‌دهند (Patruno et al., 2015). از جمله این تغییرات کاهش ۹۰ درصدی فراوانی نانوفسیل‌های آهکی در زمان وقوع رخداد غیرهوازی اقیانوسی ابتدای آپتین و بازیابی آنها بعد از OAE 1a تا میزان ۶۰ درصد است (Erba, 2004). سایر شواهد نانوفسیلی که در زمان رخداد غیرهوازی اقیانوسی ثبت شده شامل موارد زیر است: ۱) افت نانوکونیدی (Nannoconid decline) در بارمین پسین-آپتین پیشین (Mutterlose and Bottini, 2013)، ۲) پیک پتانیت‌ها



شکل ۳-نمایش فراوانی نسبی نانوکونیدها کانال باریک و عریض به موازات جنس *Micrantholithus* از پتانیت‌ها در محدوده مطالعه. افت نانوکونیدی، بحران نانوکونیدی و رخداد غیرهوازی اقیانوسی آپتین پیشین (OAE 1a) در محدوده مورد مطالعه نمایش داده شده است.

بالای مواد غذایی حاصل می‌شود (Bersezio et al., 2002; Bown, 2005); (4) بحران نانوکونیدی (Mutterlose et al., 2005; Duchamp-Alphonse et al., 2014) (Erba, 1994; Herrle, 2003; Barbarin et al., 2012; Mutterlose and Bottini, 2013; Erba and Tremolada, 2004; Erba et al., 2010 and 2015) (شکل ۳) مشابه با سایر نقاط دنیا ثبت شده است. بعد از افت نانوکونیدهای بحران نانوکونیدها ثبت شد که شاخص OAE 1a است. بعد از فراوانی نانوکونیدها به صفر می‌رسد. بحران نانوکونیدی در زیست‌زون نانوفسیل NC6B (شکل ۳) مشابه با بحران نانوکونیدها به صفر می‌رسد. هم‌مان با بحران

هم‌مان با کاهش در نانوکونیدها، افزایش در میزان فراوانی پتانیت‌ها (به خصوص *Micrantholithus*) ثبت شده به طوری که حداقل فراوانی *Micrantholithus* هم‌مان با افت نانوکونیدی آپتین پیشین و قبل از بحران نانوکونیدی ثبت شده است. نانوکونیدها شاخص آب‌های گرم و الیگوتروف هستند (Duchamp-Alphonse et al., 2014; Pauly et al., 2012). همچنین فراوانی پتانیت‌ها به خصوص در محیط‌های کم عمق و گرم با شوری کم و میزان

(Schlanger, 1981; Millán et al., 2009) نیز است. در شکل ۳ فراوانی *Nanocoenoides* کانال باریک، عریض و *Micrantholithus* به موازات هم نمایش داده شده است. همچنین در جدول ۱ لیست نانوکونیدهای موجود بر اساس اندازه کanal ارائه شده است.

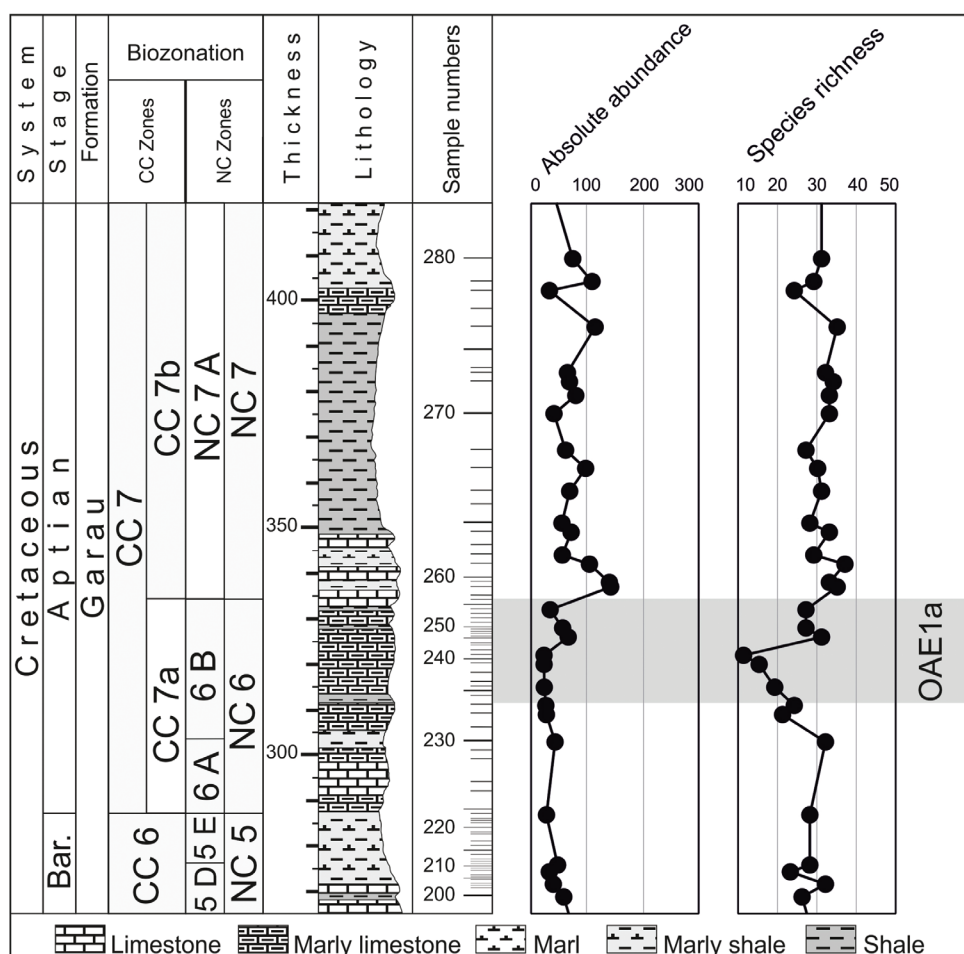
به عقیده (Erba et al. 2010) اسیدی شدن آب اقیانوس‌ها در محدوده رخداد غیرهوازی اقیانوسی ابتدای آپتین OAE1a بر اثر افزایش میزان مذکور کربن (CO_2) حاصل از فوران‌های گسترده آتشنشانی باعث از بین رفتن نانوکونیدها و سایر جنس و گونه‌ها شده است. ایشان عقیده دارند که بعد از ۱۶۰۰۰ سال شرایط غیرهوازی و اسیدی، شرایط به حالت عادی برگشته و تولید کربنات مجدد آغاز شده است.

در برش مورد مطالعه، بعد از بحران نانوکونیدی مذکور مجدداً نانوکونیدها در نمونه‌ها ظاهر شده که اکثراً شامل گونه‌های نانوکونیدی کanal عریض هستند. گونه‌های نانوکونیدی کanal باریک هرگز با فراوانی قبل از بحران در نمونه‌ها ظاهر نشده‌اند (شکل ۳). لازم به ذکر است که فراوانی مطلق نانوفسیل‌های آهکی و تنوع گونه‌های نانوفسیلی در محدوده بحران نانوکونیدی کاهش یافته است (شکل ۴).

نانوکونیدی، فراوانی *Micrantholithus* نیز به صفر رسید که می‌تواند به دلیل افزایش عمق آب و ایجاد شرایط اقیانوسی تحت شرایط آب و هوایی گرم و مرطوب با افزایش مواد غذایی است. افت نانوکونیدها و بحران نانوکونیدی ثبت شده در تجمع نانوفسیل‌های آهکی حوارد جهانی هستند که از بسیاری از نقاط دنیا گزارش شده‌اند (Erba, 1994; Herrle and Mutterlose, 2003; Erba et al., 2010; Mahanipour et al., 2011; Bottini et al., 2015; Patruno et al., 2015) با توجه به اینکه نانوکونیدها جز تولید کنندگان اصلی و مهم در اقیانوس‌های ژوراسیک و کرتاسه محسوب می‌شوند، لذا به عنوان موجودات تولید کننده کربنات مهم در نظر گرفته شده‌اند که کاهش فراوانی آنها می‌تواند منجر به کاهش کلسیتی شدن زیستی شود. دقیقاً بحران نانوکونیدی آپتین پیشین در زمان OAE 1a منطبق بر بحران کلسیتی شدن زیستی (biocalcification crisis) است، به طوری که همزمان میزان کربنات کلسیم رسوبات به میزان قابل توجهی کاهش پیدا می‌کند. لازم به ذکر است که بحران کلسیتی شدن مذکور منطبق بر غرق شدگی پلاترiformها

جدول ۱- لیست نانوکونیدهای موجود بر اساس اندازه کanal.

انواع جنس و گونه‌های نانوکونیدی بر اساس اندازه کanal	انواع نانوکونیدها
<i>Nannoconus steinmannii</i> , <i>Nannoconus steinmannii minor</i> , <i>Nannoconus ligius</i> , <i>Nannoconus</i> sp. (narrow canal forms)	نанوکونیدهای کanal باریک ۱
<i>Nannoconus kampfneri</i> , <i>Nannoconus quadricanalis</i> , <i>Nannoconus truitti</i> , <i>Nannoconus bucheri</i> , <i>Nannoconus circularis</i> , <i>Nannoconus</i> sp. (wide canal forms)	نانوکونیدهای کanal متوسط و عریض ۲



شکل ۴- نمایش فراوانی مطلق و تنوع نانوفسیل‌های آهکی در محدوده مورد مطالعه. رخداد غیرهوازی اقیانوسی ابتدای آپتین (OAE 1a) با کادر خاکستری مشخص شده است.

CC7b/NC7 همچنین منحنی کلسی‌متی، کاهش دیگری در اواسط بیوزون ۲۳۴ میزان درصد کربنات کلسیم در نمونه ۲۳۴ که قاعده رخداد بی هوازی اقیانوسی می‌باشد به صفر می‌رسد و سپس در کل محدوده ای که به عنوان رخداد بی هوازی اقیانوسی بر اساس نانوفسیل‌های آهکی در نظر گرفته شده است منحنی روندهای کاهشی (حدود ۳ تا ۸ درصد) و افزایشی (حدود ۸۰ درصد) نشان می‌دهد که معنکس کننده تغییرات لیتولوژیکی در محدوده مورد مطالعه است.

با توجه به شواهد مذکور (افت نانوکونیدی و بحران نانوکونیدی) رخداد غیرهوازی اقیانوسی ابتدای آپتین (OAЕ 1a) بر اساس تجمع نانوفسیل‌های آهکی موجود در رسوبات آپتین پیشین سازند گرو با ضخامت ۲۳ متر (از نمونه ۲۳۳ تا ۲۵۶ تا ۲۳۴) ثبت شده است. این رخداد بر اساس تجمع نانوفسیل‌های آهکی برای اولین بار از سازند گرو در تاقدیس کبیر کوه گزارش می‌شود.

میزان درصد کربنات کلسیم در نمونه ۲۳۴ که قاعده رخداد بی هوازی اقیانوسی می‌باشد به صفر می‌رسد و سپس در کل محدوده ای که به عنوان رخداد بی هوازی اقیانوسی بر اساس نانوفسیل‌های آهکی در نظر گرفته شده است منحنی روندهای کاهشی (حدود ۳ تا ۸ درصد) و افزایشی (حدود ۸۰ درصد) نشان می‌دهد که معنکس کننده تغییرات لیتولوژیکی در محدوده مورد مطالعه است. به طور کلی با وجود نوسان در منحنی، میزان درصد کربنات کلسیم در محدوده رخداد غیرهوازی اقیانوسی کمتر از قسمت‌های تحتانی و فوقانی رخداد است.

Plate 1

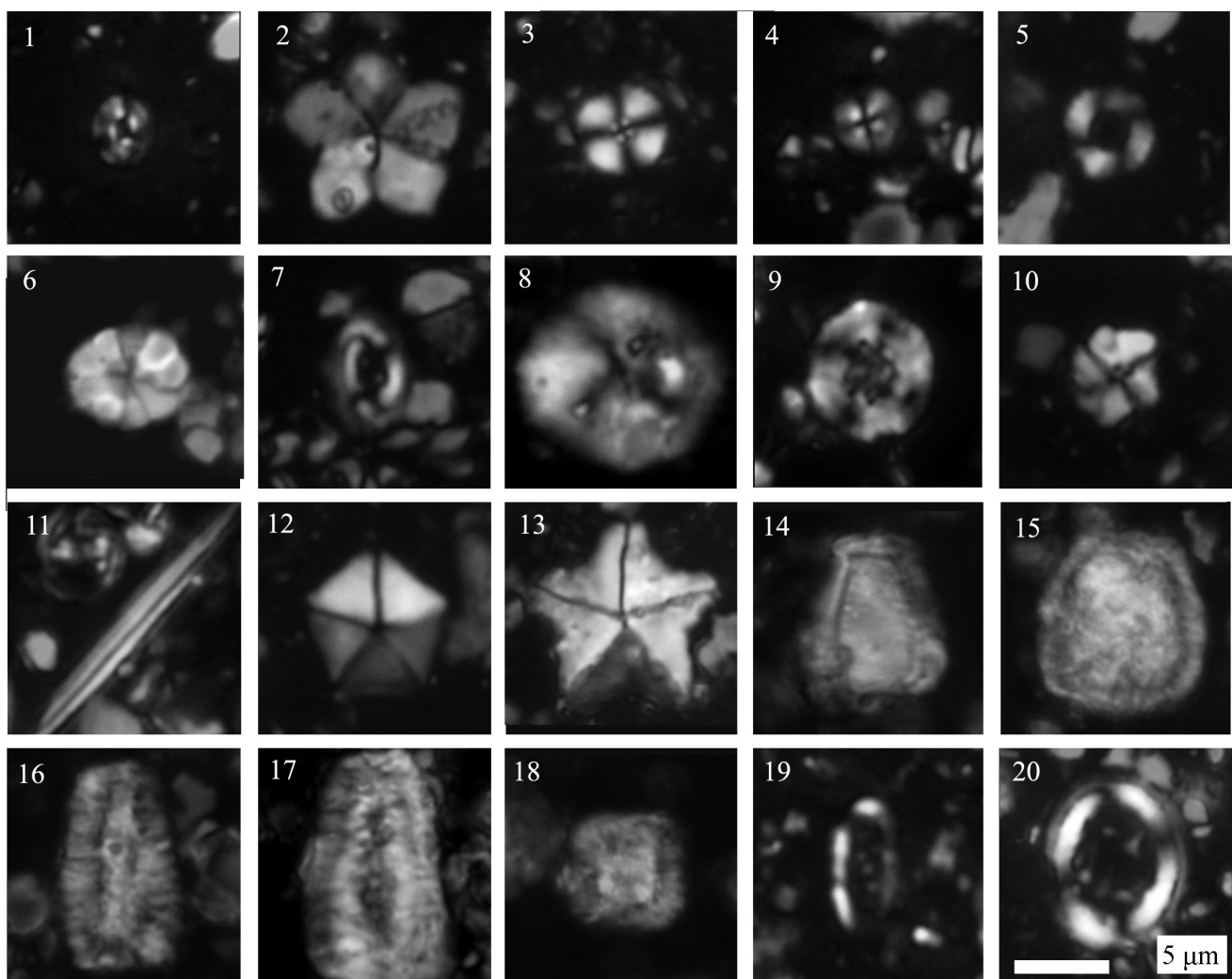


Fig. 1- *Biscutum constans* (Gorka, 1957) Black, 1959, sample 279; **Fig. 2-** *Braarudosphaera africana* Stradner, 1961, sample 277; **Fig. 3-** *Cyclagelosphaera margerelii* Noel, 1965, sample 262; **Fig. 4-** *Discorhabdus ignotus* (Gorka, 1957) Perch-Nielsen, 1968, sample 220; **Fig. 5-** *Diazomatolithus lehmanii* Noel, 1965, sample 203; **Fig. 6-** *Eprolithus floralis* (Stradner, 1962) Stover, 1966, samples 274; **Fig. 7-** *Flabellites oblongus* (Bukry, 1969) Crux in Crux et al., 1982, sample 259; **Fig. 8-** *Haquius circumradiatus* (Stover, 1966) Roth, 1978, sample 258; **Fig. 9-** *Helenea chiastia* Worsley, 1971, samples 261; **Fig. 10-** *Hayesites irregularis* (Thierstein in Roth and Thierstein, 1972) Applegate et al., in Covington and Wise, 1987, sample 254; **Fig. 11-** *Lithraphidites carniolensis* Deflandre, 1963, sample 247; **Fig. 12-** *Micrantholithus hoschulzii* (Reinhardt, 1966) Thierstein, 1971, sample 259; **Fig. 13-** *Micrantholithus obtusus* Stradner, 1963, sample 239; **Fig. 14-** *Nannoconus bucheri* Brönnimann, 1955, sample 263; **Fig. 15-** *Nannoconus circularis* Deres and Acheriteguy, 1980, sample 258; **Fig. 16-** *Nannoconus kamptneri* Brönnimann, 1955, sample 262; **Fig. 17-** *Nannoconus steinmannii* Kamptner, 1931, sample 230; **Fig. 18-** *Nannoconus truitti* Brönnimann, 1955, sample 251; **Fig. 19-** *Rhagodiscus angustus* (Stradner, 1963) Reinhardt, 1971, sample 276; **Fig. 20-** *Tubodiscus burnettiae* Bown in Kennedy et al., 2000, sample 270.

۶- نتیجه‌گیری

سپس بحران نانوکونیدی که شاخص رخداد غیرهوایی اقیانوسی ابتدای آپتین بوده (OAE 1a) ثبت شده است. همزمان با بحران نانوکونیدها، فراوانی *Micrantholithus* نیز به صفر رسید که شاخص ایجاد محیط اقیانوسی تحت شرایط آب و هوایی گرم و مرطوب با افزایش مواد غذایی است. بعد از بحران نانوکونیدی، مجدداً فراوانی نانوکونیدهای کانال عرض افزایش پیدا کرده، اما نانوکونیدهای کانال باریک با فراوانی بسیار کمی در رسوبات ثبت شده‌اند.

بررسی تجمع نانوفسیل‌های آهکی سازند گرو، منجر به ثبت افت نانوکونیدها (Nannoconid decline) در رسوبات بارمین پسین-آپتین پیشین، و سپس بحران نانوکونیدها (Nannoconid crisis) در رسوبات آپتین پیشین شد که علاوه‌جایی ثبت رخداد غیرهوایی اقیانوسی آپتین پیشین شد که علاوه‌جایی ثبت افت نانوکونیدها، افزایش فراوانی *Micrantholithus* ثبت شد که می‌تواند شاخص میزان بالای ورود رودخانه‌ها و افزایش میزان مواد غذایی تحت شرایط گرم و مرطوب است.

کتابنگاری

- اختنی، م. و قوبیل سیوکی، م.، ۱۳۸۵- بررسی پتانسیل هیدرولیکی سازند گرو به عنوان سنگ منشأ نفت خام بر اساس ترمال مچوریتی پالینومورف‌ها، دهمین همایش سالانه انجمن زمین‌شناسی ایران، دانشگاه تربیت مدرس، ۴ تا ۶ شهریور، صص. ۱۵۱۱-۱۵۱۱.
- افتخاری، م.، ماهانی پور، ا. و داستان پور، م.، ۱۳۹۵- بررسی زیست چینه‌نگاری قسمت‌های بالایی سازند گرو بر اساس نانوفسیل‌های آهکی در یال جنوب غربی تاقدیس کبیر کوه نشریه علمی پژوهشی رخدارهای رسوبی ۹ (۲)، صص. ۱۹-۲۴.
- بختری، س.، ۱۳۸۴- اتواطلس ایران، موسسه جغرافیایی و کارتوگرافی گیاتاشناسی تهران، ۶۴ ص.
- جمالیان، م.، آدابی، م. ح.، موسوی، م. ر. و صادقی، ع.، ۱۳۹۰- ژئوشیمی و پتروگرافی سازند گرو (ننوكومن-آپسین) در برش نمونه (کبیر کوه، استان ایلام)، پژوهش‌های چینه‌نگاری و رسوب‌شناسی، سال بیست و هفتم، شماره پیاپی ۴۳، شماره ۲، صص. ۱-۲۶.
- عظام پناه، ا.، صادقی، ع.، آدابی، م. ح.، جمالی، ا. م.، ۱۳۹۱- بایوستراتیگرافی سازند گرو در برش تحت‌الارضی چاه نفت، جنوب کرمانشاه، پژوهش‌های چینه‌نگاری و رسوب‌شناسی، شماره پیاپی ۴۷، شماره ۲، صص. ۶۹-۸۲.
- کنی، ا. و حکمتی نیا، س.، ۱۳۸۳- نانوستراتیگرافی سازند گرو در برش نمونه (کبیر کوه، ایلام)، هشتمین همایش سالانه انجمن زمین‌شناسی ایران، دانشگاه صنعتی شاهرود، صص. ۱۴ تا ۱۶.

References

- Aguado, R., De Gea, G. A., Castro, J. M., O'Dogherty, L., Quijano, M. L., Naafs, B. D. A. and Pancost, R. D., 2014- Late Barremian–early Aptian dark facies of the Subbetic (Betic Cordillera, southern Spain): Calcareous nannofossil quantitative analyses, chemostratigraphy and palaeoceanographic reconstructions. *Palaeogeography, Palaeoclimatology, Palaeoecology* 395, pp. 198- 221.
- Applegate, J. and Bergen, J., 1988- Cretaceous calcareous nannofossil biostratigraphy of sediments recovered from the Galicia Margin, ODP Leg 103. *Proceedings of the Ocean Drilling Program, Scientific Results* 103, pp. 293- 348.
- Barbarin, N., Bonin, A., Mattioli, E., Pucéat, E., Cappetta, H., Gréselle, B., Pittet, B., Vennin, E. and Joachimski, M., 2012- Evidence for a complex Valanginian nannoconid decline in the Vocontian basin (South East France). *Marine Micropaleontology* 84-85, pp. 37- 53.
- Bersezio, R., Erba, E., Gorza, M. and Riva, A., 2002- Berriasian–Aptian black shales of the Maiolica formation (Lombardian Basin, Southern Alps, Northern Italy): local to global events. *Palaeogeography, Palaeoclimatology, Palaeoecology* 180, pp. 253-275.
- Bordenave, M. and Burwood, R., 1990- Source rock distribution and maturation in the Zagros orogenic belt: provenance of the Asmari and Bangestan reservoir oil accumulations. *Organic Geochemistry* 16, pp. 369- 387.
- Bottini, C., Erba, E., Tiraboschi, D., Jenkyns, H., Schouten, S. and Sinninghe Damsté, J., 2015- Climate variability and ocean fertility during the Aptian Stage. *Climate of the Past* 11(3), pp. 383-402.
- Bown, P. R., 2005- Early to mid-Cretaceous calcareous nannoplankton from the northwest Pacific Ocean, Leg 198, Shatsky Rise. *Proceedings of the Ocean Drilling Program: Scientific Results* 198.
- Bown, P., 1998- Calcareous nannofossil biostratigraphy. Chapman and Hall; Kluwer Academic, 314pp.
- Bralower, T. J., Arthur, M. A., Leckie, R. M., Sliter, W. V., Allard, D. and Schlanger, S. O., 1994- Timing and paleoceanography of oceanic dysoxic/anoxic in the late Barremian to early Aptian. *Palaios* 9, pp. 335-369.
- Bralower, T. J., Leckie, R. M., Sliter, W. V. and Thierstein, H. R., 1995- An integrated Cretaceous microfossil biostratigraphy. *SEPM Special Publications* 54, pp. 65- 79.
- Chen, X., Idakieva, V., Stoykova, K., Liang, H., Yao, H. and Wang, C., 2017- Ammonite biostratigraphy and organic carbon isotope chemostratigraphy of the early Aptian oceanic anoxic event (OAE 1a) in the Tethyan Himalaya of southern Tibet. *Palaeogeography, Palaeoclimatology, Palaeoecology* 485, pp. 531- 542.
- Coccioni, R., Nesci, O., Tramontana, C. F., Wezel, C. F. and Moretti, E., 1987- Descrizione di un livello guida “Radiolaritico Bituminoso Ittiolitico” alla base delle Marne a Fucoidi nell’Appennino Umbro Marchigiano. *Boll. Soc. Geol. Ital.* 106, pp. 183-192.
- Duchamp-Alphonse, S., Gardin, S. and Bartolini, A., 2014- Calcareous nannofossil response to the Weissert episode (Early Cretaceous): Implications for palaeoecological and palaeoceanographic reconstructions. *Marine Micropaleontology* 113, pp. 65-78.
- Dumitrescu, M. and Brassell, S. C., 2006- Compositional and isotope characteristics of organic matter for the early Aptian oceanic anoxic event at Shatsky Rise, ODP Leg 198. *Palaeogeography, Palaeoclimatology, Palaeoecology* 235, pp. 168-191.
- Erba, E. and Tremolada, F., 2004- Nannofossil carbonate fluxes during the Early Cretaceous: phytoplankton response to nutrification episodes, atmospheric CO₂, and anoxia. *Paleoceanography* 19, pp. 1- 18.
- Erba, E., 1994- Nannofossils and superplumes: the early Aptian “nannoconid crisis”. *Paleoceanography* 9, pp. 483-501.

- Erba, E., 2004- Calcareous nannofossils and Mesozoic oceanic anoxic events. *Marine Micropaleontology* 52, pp. 85-106.
- Erba, E., Bottini, C., Weissert, H. J. and Keller, C. E., 2010- Calcareous nannoplankton response to surface-water acidification around Oceanic Anoxic Event 1a. *Science* 329(5990), pp. 428- 432.
- Erba, E., Duncan, R. A., Bottini, C., Tiraboschi, D., Weissert, H., Jenkyns, H. C. and Malinverno, A., 2015- Environmental consequences of Ontong Java Plateau and Kerguelen Plateau volcanism. *The Geological Society of America Special Paper* 511, pp. 271- 303.
- Föllmi, K., 2012- Early Cretaceous life, climate and anoxia. *Cretaceous Research* 35, pp. 230- 257.
- Hay, W. W., 2008- Evolving ideas about the Cretaceous climate and ocean circulation. *Cretaceous Research* 29, pp. 725- 753.
- Heimhofer, U., Hochuli, P. A., Herrle, J. O., Andersen, N. and Weissert, H., 2004- Absence of major vegetation and palaeoatmospheric pCO₂ changes associated with oceanic anoxic event 1a (Early Aptian, SE France). *Earth Planetary Science Letters* 223, pp. 303- 318.
- Herrle, J. O. and Mutterlose, J., 2003- Calcareous nannofossils from the Aptian–Lower Albian of southeast France: palaeoecological and biostratigraphic implications. *Cretaceous Research* 24, pp. 1- 22.
- Herrle, J. O., 2003- Reconstructing nutricline dynamics of mid-Cretaceous oceans: evidence from calcareous nannofossils from the Niveau Paquier black shale (SE France). *Marine Micropaleontology* 47, pp. 307- 321.
- Heydari, E., 2008- Tectonics versus eustatic control on supersequences of the Zagros Mountains of Iran. *Tectonophysics* 451, 56-70.
- Huber, B. T., Hodell, D. A. and Hamilton, C. P., 1995- Middle–Late Cretaceous climate of the southern high latitudes: stable isotopic evidence for minimal equator-to-pole thermal gradients. *Geological Society of America Bulletin* 107, pp. 1164-1191.
- James, G. and Wynd, J., 1965- Stratigraphic nomenclature of Iranian oil consortium agreement area. *AAPG bulletin* 49, 2182-2245 pp.
- Jenkyns, H. C., 2010- Geochemistry of oceanic anoxic events. *Geochemistry, Geophysics, Geosystems* 11(3), pp. 1-30.
- Leckie, R. M., Bralower, T. J. and Cashman, R., 2002- Oceanic anoxic events and plankton evolution: Biotic response to tectonic forcing during the mid-Cretaceous. *Paleoceanography* 17 (3), pp. 1-13.
- Li, Y. X., Bralower, T. J., Montañez, I. P., Osleger, D. A., Arthur, M. A., Bice, D. M., Herbert, T. D., Erba, E. and Premoli Silva, I., 2008- Towards an orbital chronology for the early Aptian Oceanic Anoxic Event (OAE 1a, ~120 Ma). *Earth and Planetary Science Letters* 271, pp. 88-100.
- Mahanipour, A., Eftekhari, M. and Dastanpour, M., 2018- Barremian-Aptian calcareous nannofossil biostratigraphy in Zagros Basin (West Iran), Tethyan Realm. *Stratigraphy and Geological correlation* (In press).
- Mahanipour, A., Mutterlose, J., Kani, A. L. and Adabi, M. H., 2011- Palaeoecology and biostratigraphy of early Cretaceous (Aptian) calcareous nannofossils and the δ¹³C_{carb} isotope record from NE Iran. *Cretaceous Research* 32, pp. 331-356.
- Millán, M., Weissert, H., Fernández-Mendiola, P. and García-Mondéjar, J., 2009- Impact of Early Aptian carbon cycle perturbations on evolution of a marine shelf system in the Basque–Cantabrian Basin (Aralar, N Spain). *Earth and Planetary Science Letters* 287, pp. 392-401.
- Motiei, H., 1994- Stratigraphy of Zagros. *Geological Survey of Iran*, pp. 345-346.
- Motiei, H., 1995- Iran Petroleum Geology - Geology of the Zagros 1. *Publications GSI*, Iran, 1009 p.
- Mutterlose, J. and Bottini, C., 2013- Early Cretaceous chalks from the North Sea giving evidence for global change. *Nature communications* 4 (1686), pp. 1-6.
- Mutterlose, J., Bornemann, A. and Herrle, J. O., 2005- Mesozoic calcareous nannofossils - state of the art. *Paläontologische Zeitschrift* 79, pp. 113-133.
- Patruno, S., Triantaphyllou, M. V., Erba, E., Dimiza, M. D., Bottini, C. and Kaminski, M. A., 2015- The Barremian and Aptian stepwise development of the ‘Oceanic Anoxic Event 1a’(OAE 1a) crisis: Integrated benthic and planktic high-resolution palaeoecology along the Gorgo a Cerbara stratotype section (Umbria–Marche Basin, Italy). *Palaeogeography, Palaeoclimatology, Palaeoecology* 424, pp. 147-182.
- Pauly, S., Mutterlose, J. and Alsen, P., 2012- Early Cretaceous palaeoceanography of the Greenland–Norwegian Seaway evidenced by calcareous nannofossils. *Marine Micropaleontology* 90, pp. 72-85.
- Perch-Nielsen, K., 1985- Mesozoic calcareous nannofossils, In *Plankton stratigraphy*. Cambridge University Press, pp. 329-426.
- Premoli Silva, I., Erba, E., Salvini, G., Locatelli, C. and Verga, D., 1999- Biotic changes in Cretaceous oceanic anoxic events of the Tethys. *The Journal of Foraminiferal Research* 29, pp. 352-370.
- Roth, P. H., 1978- Cretaceous nannoplankton biostratigraphy and oceanography of the northwestern Atlantic ocean. Initial report of Deep Sea Drilling Project 44, pp. 731-759.
- Schlager, 1981- The paradox of drowned reefs and carbonate platforms. *Geological Society of America, Bulletin* 92, pp. 197-211.
- Schlanger, S. and Jenkyns, H., 1976- Cretaceous oceanic anoxic events: causes and consequences. *Geologie en Mijnbouw* 55, pp. 179-184.
- Sissingh, W., 1977- Biostratigraphy of calcareous Nannoplankton. *Geologie en Mijnbouw* 56 (1), pp. 37-65.
- Talbot, C. J. and Alavi, M., 1996- The Past of a Future Syntaxis across the Zagros. In: Alsop, G.I., Blundell, D.J. and Davison, I., Ed., *Salt Tectonics*, Vol. 100, Geological Society, London, pp. 89-109.
- Tejada, M. L. G., Suzuki, K., Kuroda, J., Coccioni, R., Mahoney, J. J., Ohkouchi, N., Sakamoto, T. and Tatsumi, Y., 2009- Ontong Java Plateau eruption as a trigger for the early Aptian oceanic anoxic event. *Geology* 37, pp. 855-858.
- Thibault, N. and Gardin, S., 2006- Maastrichtian calcareous nannofossil biostratigraphy and paleoecology in the Equatorial Atlantic (Demerara Rise, ODP Leg 207 Hole 1258A). *Revue de Micropaléontologie* 49, pp. 199-214.
- Vincent, B., van Buchem, F. S., Bulot, L. G., Immenhauser, A., Caron, M., Baghbani, D. and Huc, A. Y., 2010- Carbon-isotope stratigraphy, biostratigraphy and organic matter distribution in the Aptian–Lower Albian successions of southwest Iran (Dariyan and Kazhdumi formations). *GeoArabia Special Publication* 4, pp. 139-197.
- Weissert, H. and Erba, E., 2004- Volcanism, CO₂ and palaeoclimate: a Late Jurassic–Early Cretaceous carbon and oxygen isotope record. *Journal of the Geological Society* 161, pp. 695-702.
- Wilson, P. A., Norris, R. D. and Cooper, M. J., 2002- Testing the Cretaceous greenhouse hypothesis using glassy foraminiferal calcite from the core of the Turonian tropics on Demerara Rise. *Geology* 30, pp. 607-610.

The early Aptian oceanic anoxic event 1a (OAE 1a) based on calcareous nannofossils at Garau Formation (Kabir-Kuh anticline), West of Iran

A. Mahanipour^{1*}, M. Eftekhari² and S. Soheili²

¹Associate Professor, Department of Geology, Faculty of Science, Shahid Bahonar University of Kerman, Kerman, Iran

²M.Sc., Department of Geology, Faculty of Science, Shahid Bahonar University of Kerman, Kerman, Iran

Received: 2018 August 20

Accepted: 2018 December 19

Abstract

In order to study the early Aptian Oceanic Anoxic Event 1a (OAE 1a), calcareous nannofossils are investigated at the late Barremian -early Aptian sediments of the Garau Formation at south west of the Kabir-Kuh anticline, Qaleh-Darreh section. Ninety species of calcareous nannofossils from 43 genus and 15 families are identified along with marker species like *Hayesites irregularis* and *Eprolithus floralis*. Based on index calcareous nannofossil taxa, the studied interval is located between the uppermost part of the CC6/NC5 and the early part of CC7/NC7A. The first occurrence of *H. irregularis*, the marker of the Barremian - Aptian boundary, used as an index species between CC6/NC5E and CC7/NC6. Statistical analysis of the calcareous nannofossil assemblages at the studied interval indicate the presence of nannoconid decline at the Barremian - Aptian boundary and early Aptian and nannoconid crisis at CC7a/NC6B biozone. Nannoconid crisis is one of the main markers of the early Aptian OAE 1a that is recorded from different parts of the world at the Tethys and Boreal realms, Atlantic and Pacific oceans at the early Aptian (NC6 biozone). At the current study the early Aptian OAE 1a is recorded from the Garau Formation based on calcareous nannofossil assemblages.

Keywords: Iran, Garau Formation, Zagros Basin, early Aptian OAE 1a, Calcareous nannofossils..

For Persian Version see pages 53 to 60

*Corresponding author: A. Mahanipour; E-mail: a_mahanipour@uk.ac.ir